

بررسی میزان گرافیته شدن از طریق اثر هال

محمد مهدی ستودهⁱ; حاجی شیرین زادهⁱⁱ; سید علی خلیفه سلطانیⁱⁱⁱ

چکیده

در این تحقیق (مقاله)، خواص الکتریکی نمونه‌ها توسط اثر هال اندازه‌گیری شده است. نمونه‌های آزمایش شده از نظر مواد تشکیل دهنده و دمای عملیات حرارتی متفاوت بودند. بعد از اندازه‌گیری با اثر هال $I_\sigma, V_\sigma, V_H, I_H$ بدست آمد و از به کمک آن، خواص الکتریکی شامل تعداد حامل‌های بار، مقاومت ویژه، ثابت هال و تحرک الکترونها محاسبه شد. از هدایت الکتریکی اندازه گیری شده دمای عملیات حرارتی، میزان گرافیته شدن و هدایت حرارتی کربن بدست آمد. سپس میزان گرافیته شدن نمونه‌ها توسط XRD مورد بررسی قرار گرفت.

کلمات کلیدی

هدایت الکتریکی، هدایت حرارتی، گرافیت، میزان گرافیته شدن

An Investigation on Degree of Graphitization by Hall Effect

ABSTRACT

In this study, physical properties of Graphite samples were measured by Hall Effect. Samples were taken to heat treatment as respect to different constituent of materials, after measuring by Hall Effect, $I_\sigma, V_\sigma, V_H, I_H$ then estimate by equation specific resistivity, number charge carriers, coefficient hall electron mobility. Electrical conductivity generalized directly proportional and linear with thermal conductivity more over from these electrical properties can be determine heat treatment temperature and degree graphitization.

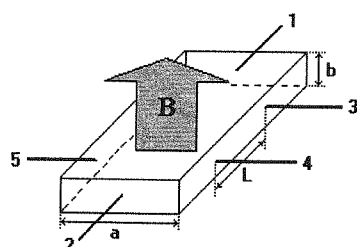
KEYWORDS

Degree of graphitization, electrical conductivity, thermal conductivity, graphite

برای عبور جریان ۴ و برای اندازه گیری اختلاف پتانسیل

هال می‌باشد.

۱- مقدمه



اولین مطالعه منظم و علمی در مورد مقاومت الکتریکی کربیستال گرافیت عمود بر محور C با اثر هال و میدان مغناطیسی توسط Kinchin انجام شده است. با گذرا جریان پایای I از یک رسانای مکعب مستطیل شکل که میدان مغناطیسی B بر یکی از رخهای آن عمود است، در دو سوی رسانا و در راستای عمود بر A و B اختلاف پتانسیل یکنواختی شکل می‌گیرد، این پدیده اثر هال نامیده می‌شود. شکل ۱ ترتیبی از اجزاء آماده شده برای اندازه گیری اثر هال را نشان می‌دهد. اتصال ۱ و ۲

ⁱ کارشناس ارشد پژوهشگاه مواد انرژی ایران، صندوق پستی ۱۴۱۵۵-۴۷۷۷

ⁱⁱ استادیار پژوهشگاه مواد و انرژی، بخش نیمه هادیها تلفن تلفن ۰۹۱۲۲۶۵۰۷۳۵

ⁱⁱⁱ استادیار دانشگاه تربیت مدرس ایران، E mail: khlifehsoltani@yahoo.com

۲۳۰۰°C عملیات حرارتی شدن دارای مقاومت ویژه $\rho \leq 1 \times 10^{-3} \Omega \text{ cm}$ می‌باشد که هرچه این میزان مقاومت ویژه بالاتر باشد نشانگر دمای عملیات حرارتی پایین‌تر گرافیت پلی کریستال است. همچنین در گرافیت پیرولیتیک ۲ به علت لایه لایه بودن و خواص ممتاز مقاومت ویژه به $0.5 \times 10^{-3} \Omega \text{ cm}$ در جهت عمود بر لایه‌ها و به $0.26 \times 10^{-3} \Omega \text{ cm}$ درجهت موادی با لایه‌ها می‌رسد [۶].

جدول(۱): مقایسه خواص فلزات، سرامیک‌ها با مشتقات کربن

ماده	مقاومت الکتریکی ($\Omega \text{ cm}$)	هدایت حرارتی ($\frac{\text{W}}{\text{mK}}$)
الکترود گرافیت	0.76×10^{-3}	۱۵۹
گرافیت پیرولیتیک	1.5×10^{-3} 0.026×10^{-3}	۲/۲ ۳۹۸
الماس		۲۰۰
الیاف کربن بر پایه Pan	$2.2-2.85 \times 10^{-4}$	۳۵۰-۱۱۰۰
نمد گرافیت	----	۰/۲
کامپوزیت کربن-کربن	----	۴-۶
آلومینیوم	0.0026×10^{-3}	۴۲۰
مس	0.0017×10^{-3}	۳۸۵
دیرکتازهای شاموتی	----	۱/۱۲

همانطور که در جدول ۱ مشاهده می‌شود، نمد گرافیتی دارای کمترین هدایت حرارتی است و علت استفاده آن در کوره‌های دمای بالا همین هدایت کم است [۷].

علت افزایش هدایت الکتریکی گرافیت با زیاد شدن دما به دست آوردن انرژی لازم برای غلبه بر باند کووالانت است و لی علت افزایش هدایت الکتریکی بر اثر افزایش دمای عملیات حرارتی به از بین رفتن عیوب و کاهش E_g برمی‌گردد، زیرا عیوب باعث پراکنده‌گی الکترونها می‌شوند. گرافیت ایده‌آل باید مجموعه‌ای از خواص الکتریکی، دانسیته، انرژی تابشی، استحکام کششی و خمشی و درجه خلوص مواد اولیه را دارا باشد.

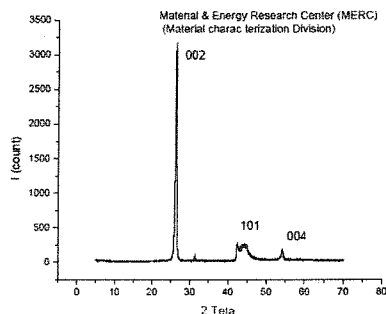
اما وظیفه هدایت حرارتی را فونون‌ها به عهده دارند که ارتباط مستقیم با ساختار شبکه دارد. بنابراین با افزایش دما، هدایت حرارتی کاهش می‌یابد زیرا مقداری اعوجاج در شبکه ایجاد می‌کند (شکل ۲).

اما هرچه میزان کریستاله شدن بلورکهای گرافیت بیشتر

کربن عنصر ششم جدول تناوبی است و در حالت جامد یک الکترون از S برانگیخته شده و درون یک حالت P به شکل باند کووالانت در می‌آید (sp2). هنگامی که کربن ساختار لایه‌ای اش در حال گسترش و لایه‌ها در حال منظم شدن و انباسته شدن روی هم باشد به آن گرافیت گویند. در الماس که یکی دیگر از آلوتروپهای کربن است این پیوند از نوع sp3 است که توزیع تتراهرال دارد و طول باند آن $1/54$ آنگستروم است. در گرافیت سه باند کووالانت از نوع sp2 و طول باند $1/41$ آنگستروم و یک الکترون قابل دسترس در باند کوالانس وجود دارد که عامل هدایت الکتریکی در دمای پایین است. همین تفاوت در نوع پیوند، باعث تفاوت زیادی در این دو آلوتروپ کربن شده است. به طوری که الماس یک ماده عایق الکتریسیته است ولی هدایت حرارتی آن در دمای محیط حدود ۵ برابر مس است. الماس سخت‌ترین ماده روی زمین به حساب می‌آید با سختی در حدود $10400-5700 \text{ kg/mm}^2$ کاملاً نرم است. الماس در فشارهای بالای 100 kbar (Mpa) پایدار و در فشارهای معمولی گرافیت فاز پایدار است. بنابراین در فشارات‌مسفر با افزایش دما می‌توان از فاز نیمه پایدار به گرافیت رسید [۲ و ۳]. گرافیت در حالت معمولی ساختار هگزاگونال دارد بجز آنکه صفحات اصلی هگزاگونال آن در بیشترین مسیر تراکم (۰۰۰۲)، (۰۰۰۱) نیست. اما یک آسیاب سنگین آن را به رمبوهدرال ناپایدار که شبیه BCC است تبدیل می‌کند. البته این دو ساختار از هم مجزا نیستند و در دماهای بالا رمبوهدرال ۱ قابل تبدیل به هگزاگونال می‌باشد [۴] هدایت الکتریکی در نیمه رساناها به حاملهای بار مربوط می‌شود که این حاملها به خلوص نیمه‌رسانا و دمای آن بستگی دارد. در گرافیت با افزایش دما هدایت الکتریکی همانند سرامیک‌ها افزایش می‌یابد که علت آن در گستته شدن پیوند کووالانت در ماده و آزاد شدن الکترون از باند ظرفیت و رفتن به باند هدایت است. فاصله بین باند ظرفیت و هدایت (E_g) خود تا حدودی مشخص کننده پیوند کووالانت است. یعنی هرچه شکاف انرژی بیشتر باشد پیوندهای بلور قوی‌تر هستند و دمای آزاد شدن الکترون از باند ظرفیت افزایش می‌یابد. همچنین بلورهایی که شکاف انرژی کمی دارند چگالی الکترون‌ها (n) در باند هدایت آنها بیشتر است [۵]. عامل تعیین کننده هدایت حرارتی و الکتریکی می‌بینیم که گرافیت شدن است که شدیداً به دمای عملیات حرارتی بستگی دارد. به نحوی که از یک ماده عایق به نام قیر با $\rho = 1.0 \times 10^{-3} \Omega \text{ cm}$ به گرافیت با $\rho = 0.5 \times 10^{-3} \Omega \text{ cm}$ قابل تبدیل است. بنابراین هدایت الکتریکی خود یک عامل میزان گرافیت شدن است. به طوری که اکثر گرافیتها بیان

گرفتن نمونه در یک میدان مغناطیسی ایجاد می‌شود. نمونه‌های آزمایش شده گرافیتهایی با دمای عملیات حرارتی و مواد تشکیل دهنده مقاومت بودند. ابتدا برای اندازه‌گیری هال نمونه به ابعاد $3 \times 1 \times 1$ سانتی متر آماده گردید. از فیکسری که در شکل ۷ نشان داده شده، برای برقراری کنتاکت‌ها استفاده گردید.

در شکل ۳، به علت دمای عملیات حرارتی کمتر فاصله بین لایه‌ای بیشتر است

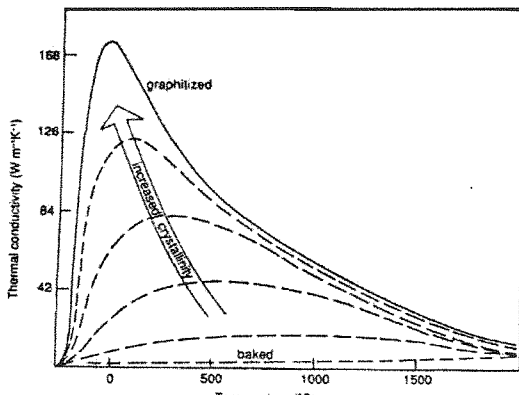


شکل(۳) : نمونه comp با فاصله بین لایه‌ای ۳.۴۰۹

جدول ۳: اطلاعات استخراج شده از دستگاه

نمونه	Comp	El	ap	Ac
I_o^+ (mA)	۷/۲۴	۷/۲۴	۷/۲۴	۷/۲۴
I_o^-	۷/۲۴	۷/۲۴	۷/۲۴	۷/۲۴
Average	۷/۲۴	۷/۲۴	۷/۲۴	۷/۲۴
V_o^+ (mV)	-۰.۲۱	-۰.۱۱۲	-۰.۰۱۷	-۰.۰۱۳
V_o^-	-۰.۲۱	-۰.۰۱۱	-۰.۰۱۷	-۰.۰۱۳
Average	-۰.۲۱	-۰.۱۱۱	-۰.۰۱۷	-۰.۰۱۱۵۶
I_H^+	۷/۲۴	۷/۲۴		۷/۲۴
I_H^-	۷/۲۴	۷/۲۴	-	۷/۲۴
Average	۷/۲۴	۷/۲۴		۷/۲۴
V_H^+	-۰.۱۱	-۰.۰۰۶۸۷		-۰.۰۰۵
V_H^-	-۰.۰۳	-۰.۰۷	-	-۰.۰۱۲۲
Average	-۰.۰۷	-۰.۰۰۶۹۳۵		-۰.۰۰۳۱
H (G) گوس	۲۸۵۰	۲۸۵۰	۲۸۵۰	۲۸۵۰

باشد یعنی دمای عملیات حرارتی افزایش یابد هدایت حرارتی هم بیشتر می‌شود ۳ زیراباندها قویتر و شبکه کریستالی منظم‌تر می‌شود.



شکل ۲: تأثیر افزایش دما بر روش هدایت حرارتی در گردان هایی دیازان گریستالزه شدن نمونه

۲- مواد و روش تحقیق

ابتدا وزن تر و وزن معلق در آب را اندازه گیری کرده و از روش پیکنومتری، دانسیته و تخلخل نمونه‌ها بدست آورده می‌شود. میزان تخلخل و اندازه تخلخل بر روی هدایت الکتریکی تاثیر گزاره است که خارج از بحث فعلی است. جدول ۲، مواد اولیه ساخت نمونه‌ها و دمای عملیات حرارتی را نشان می‌دهد.

جدول (۲) : خصوصیات نمونه‌های آزمایشی

نمونه	نمود	نوع شکل دهنده	مواد تشکیل دهنده	دمای عملیات حرارتی $^{\circ}\text{C}$
El	اکستروژن	کک+قیر	۲۰۰۰	
ac	پرس	کک+قیر	۱۹۰۰	
Comp	پرس	کک+قیر	۱۸۰۰	
ap	پرس	پودر گرافیت+قیر	۱۹۰۰	

ابتدا با توجه به فاصله بین لایه‌ای (d) بدست آمده از XRD و رابطه Mire به میزان گرافیت شدن نمونه‌ها پی برده در این نظریه $g=0$ حالت غیر گرافیتی با ساختار نامنظم را نشان می‌دهد و $g=1$ گرافیت شدن کامل را نشان می‌دهد که در دماهای نزدیک ۲۸۰۰ دست یافتنی است [۸]

$$d = \frac{2}{3} \cdot 54 g + \frac{2}{3} \cdot 44 (1-g) \quad \text{Mire}$$

حال با توجه به رابطه ۱ میزان گرافیت شدن برای نمونه‌ها

$$g_{\text{El}} - g_{\text{com}} = 0/36 - 0/55 = -0/19$$

بدست می‌آید $g_{\text{ac}} = 0/46 - g_{\text{ac}} = 0/46$ که مقادیر محاسبه گردید. که همانطور که در مقدمه اشاره شد علمی‌ترین روش برای اندازه گیری هدایت الکتریکی گرافیت اثر هال است که اساس این روش از قرار

جريان ورودی به نمونه می‌باشد. حال با توجه به داده‌های استخراج شده می‌توان مقاومت ویژه، ثابت هال و تعداد حاملهای بار را به آسانی به دست آورد.

$$\sigma = \frac{I_0 \cdot L}{V_0 \cdot S}$$

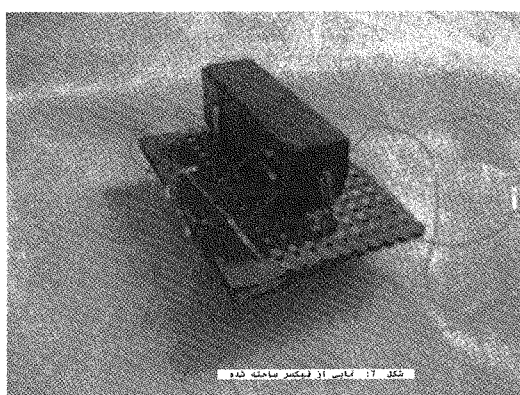
که در رابطه $\sigma = \frac{I_0 \cdot L}{V_0 \cdot S}$ فاصله دو کنتاکت از یکدیگر، S سطح مقاطعی که جریان وارد می‌شود. L فاصله دو کنتاکت است که با معکوس کردن هدایت الکتریکی، مقدار مقاومت ویژه به دست می‌آید. با فرمول‌های $\sigma = \frac{I_0 \cdot L}{V_0 \cdot S}$ ثابت هال و تعداد حاملهای بار و تحرک الکترونها بدست می‌آید [۹].

$$R_h = V_h \times b \times 10^8 / I_h \times H^3$$

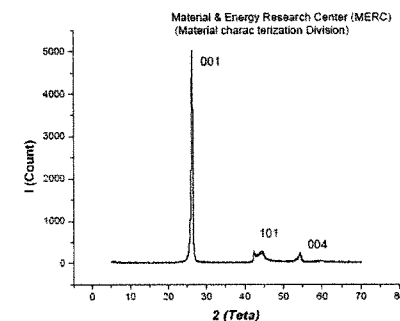
$$\mu = R_h \times \sigma^{-1} = \frac{V_h \times 10^8}{I_h \times H^3} / R_h$$

با استفاده از روابط ۳ و نتایج آزمایش، جدول (۴) بدست می‌آید. جدول ۴، اثر دمای عملیات حرارتی و مواد تشکیل دهنده را بر روی هدایت الکتریکی نشان می‌دهد. همانطور که مشخص است در نمونه EL با دمای عملیات حرارتی ۲۰۰۰ و درجه گرافیته شدن $g=0.55$ دارای کمترین مقاومت الکتریکی است.

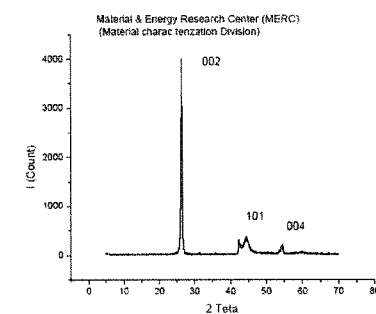
با بالا رفتن میزان گرافیته شدن و دمای عملیات حرارتی مقاومت ویژه کاهش پیدا کرده است. در نمونه با دانسیته بیشتر با وجود ساختار متراکم و با توجه به این موضوع که با افزایش فشار در نیمه‌های میزان E_g کاهش می‌یابد و اتمها در فضای بسته و فشرده نیروی بیشتری به هم وارد می‌کنند، پرسش اینست که علت کم نشدن مقاومت ویژه چیست؟ تنها دلیل منطقی وجود باند کربنی بین ذرات گرافیت است که هنوز با ساختار گرافیت هماهنگ نشده است و یک بین‌نظمی در ساختار به وجود آورده است. این لایه کربنی همان اتصال دهنده بین ذرات گرافیت است که در اثر عملیات حرارتی به کربن تبدیل گردیده اما هنوز کاملاً گرافیته نشده است.



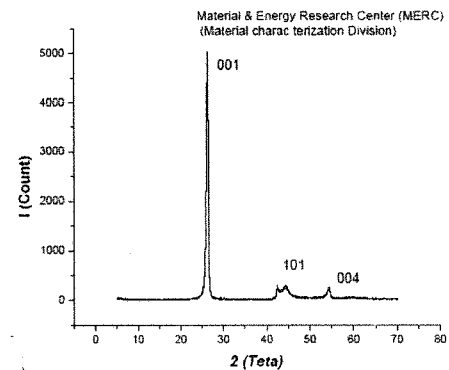
شکل (۷): نمایی از فیکسر ساخته شده



شکل (۴): نمونه EL با فاصله بین لایه ای ۳.392



شکل (۵): نمونه EL با فاصله بین لایه ای ۳.392



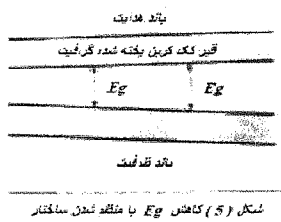
شکل (۶): نمونه ap با فاصله بین لایه ای ۳.406

در XRD نمونه‌های گرافیتی نمونه EL به علت فاصله بین لایه ای کمتر دارای ساختار گرافیتی کاملتری است. در شکل (۶) علت فاصله بین لایه بیشتر نمونه ap به علت دمای عملیات حرارتی نیست بلکه به علت وجود پر کننده گرافیت است که ناهمسانی ساختاری بیشتری با اتصال دهنده دارد.

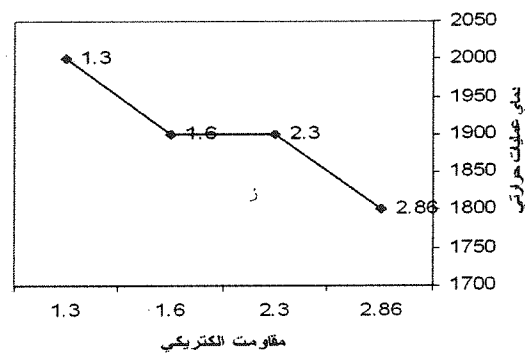
۳- بحث

در جدول ۳، تفاوت حالت مثبت با منفی در تغییرجهت

مقدار c در جهت عمود و موازی بر لایه هاست و برای گرافیت پلی کریستال معمولاً بین $470 \text{--} 600 \text{ }^{\circ}\text{C}$ است. البته این روش تنها یک تخمین از حدود هدایت حرارتی می‌دهد.



شکل(۵): کاهش Eg با منظم شدن ساختمان



شکل (۸): تاثیر دمای عملیات حرارتی بر روی مقاومت الکتریکی گرافیت

همانطور که در آزمایشات مشاهده شد از روی دانسیته، هدایت الکتریکی گرافیت حاصل نمی‌شود. زیرا در نمونه با دانسیته بالا هم هدایت الکتریکی زیاد نبود و این دمای عملیات حرارتی است که نقش اصلی را در هدایت الکتریکی دارد میزان گرافیت شدن با توجه به XRD و رابطه Mire بسته است. با توجه به هدایت الکتریکی اندازه گیری شده مشخص گردید که گرافیت در طبقه بندهی مواد بین نیمه هادی‌های کووالانت و فلزات قرار دارد. خواص الکتریکی، به مواد اولیه تولید گرافیت نیز بستگی داشت و مشاهده شد که این مواد هر چه از نظر ساختاری به هم نزدیکتر باشند میزان گرافیت شدن بهتر می‌شود. در اینجا وجود ذرات پر کننده ناهمسان با اتصال، دهنده خود همانند سدی در مقابل لایه لایه شدن عمل نمود.

۵- تقدیر و تشکر

نویسنده‌گان مقاله از آقای دکتر فتح ا... مضطэр زاده و دکتر مهران صولتی از بوجود آوردن فضای علمی پژوهشی کمال قدر دانی و تشکر را مینمایند. همچنین از دکتر مسعود درودیان، سرکار خانم مریم حاج حسینی، مهندس عزیزی، آقای رضا سلیمانی، آقای محمد رضا حسن زاده، خانم ثریا برنانی زنوزی، خانم سحر طیب طاهر که هر کدام به نحوی ما را در انجام این آزمایشات یاری نمودند تشکر می‌نمایند. پیش‌آپیش از اساتید محترم که نشریه را در ارتقای کیفی آن یاری می‌کنند، سپاسگزاری می‌گردد.

در شکل ۸ با افزایش دمای عملیات حرارتی مقاومت الکتریکی کاهش یافته که علت آن، منظم شدن ساختمان و افزایش لایه‌ای شدن است.

معمولًا گرافیتهاي پلی کریستال که تا دمای حدود $2400 \text{ }^{\circ}\text{C}$ درجه عملیات حرارتی شده‌اند مقاومت ویژه کمتر از $\Omega\text{mc}^{-1} \times 10^{-3}$ دارند. استفاده از پرکننده (کک) همراه اتصال دهنده (رزین ترمoplast) دانست. زیرا اگر در نمونه‌ها قیر (رزین ترمoplast) به تنهایی کربونیزه شود پس از نرم شدن مولکول‌های بزرگ حرکت کرده و نظم یافته و در جهت یک لایه نظم پیدا می‌کنند. اما وقتی ذرات پرکننده وجود دارند قیر میل دارد تا در اطراف این ذرات قرار گیرد بنابراین جهت‌گیری لایه‌ای برای واحدهای مولکولی کاهش می‌یابد.

جدول (۴): خواص فیزیکی محاسبه شده

نمونه ^۱	$\rho \times 10^{-3}$ مقاومت ویژه	El	ap	Ac	Comp
دانسیته (g/cm ³)	۱/۲	۲/۲	۱/۶	۲/۸۶	
تحرک حاملهای بار (m) cm ² /v.s	۱۵۵۳۵	—	۵۷۴۴	۷۰۶۲	
تعداد حاملهای بار n (cm ³) ^{-۱}	$۲/۹۷ \times 10^{-۷}$	—	$۶/۶ \times 10^{-۷}$	$۲/۹۵ \times 10^{-۷}$	

با بدست آوردن هدایت الکتریکی گرافیت می‌توان تاحدوی به هدایت حرارتی گرافیت نیز پی برد. طبق رابطه زیر [۱۰]

$$K(\text{lac}/\text{ces}/\text{cm}) = c\sigma(\Omega\text{mc})^{-1}$$

که c عدد ثابت و K هدایت حرارتی است. فرمول ۵ نشان می‌دهد که با افزایش هدایت الکتریکی، هدایت حرارتی نیز افزایش می‌یابد. $0.00047 < c < 0.00013$ و معمولاً $0.00013 < K < 0.00047$.

۶- مراجع

- Physical properties of graphite W.N. Reynolds.amstendown, newyorketc. Elsevier pub.co.1968. [۱]
- W.R.Fahrne Handbook of Diamond Technology. [۲]
- Handbook of Carbon, Graphite, Diamond, and fullerenes. [۳]
- Carbon/ Graphite Properties, bulletin from the G Materials Div. America. marys, PA 15857. [۴]
- صلاحی و رحیمی پور ، آشنایی با خواص فیزیکی مواد. ناشر تحقیقات صنعت شیمی پژوهش سال نشر ۸۱. [۵]
- Electrical Resistivities and Crushing Strengths of baked carbon third conf on Carbon University of Buffalo ,usa.collins ,FM. [۶]
- Graphite Refractory Material, bulletin from le Carbon-Lorraine, Gennevilliers 92231,France. [۷]
- Saxena. R. R, "Kinetics of graphitization in glassy carbon", Carbon, 16, P373, (1978). [۸]
- Physical Chemistry , Eggers D. F, Gregory, N.W, Halsey G.D and Rabinovitch .B.S, John Wiley and Sons New York 1964. [۹]
- Thermo physical properties of high Temperature Solid Materials Y.S.Touloukian, new York Macmillan 1967. [۱۰]